

III-172 繰返し荷重下における御岳軽石層のせん断特性

信州大学工学部 正会員 小西純一
正会員 川上浩

1. まえがき

長野県西部地震によって崩壊した王滝村松越地区より採取した、乱さない軽石層(19ミク)試料に対して、圧密非排水繰返し三軸圧縮試験(CU Test)を行った。その結果、初期せん断をえた繰返し三軸圧縮試験によって得られる有効応力経路は、単調載荷の場合の破壊線を超えて、新たな限界線に漸近するという結果を得た。これは妥当らしきが、同じ松越軽石層について、動的強度が静的強度に比べて大きくなると全応力解析に基づいて報告した結果と符合しているが、新しい限界線の意義については今後明らかにしてゆくつもりである。

2. 試料および試験方法

試料は松越地区の崩壊斜面のすべり面と考えられる地層よりロックサンプリングしたもので、風化の進んだ軽石である。自然含水比 $w_n = 120 \sim 150\%$ 、液性限界 w_L (平均) = 94%、塑性限界 w_p (平均) = 61% である。繰返し液状化となる。標準圧密試験によって得られた圧密降伏応力は $p'_c = 2.1 \text{ kgf/cm}^2$ である。

直径 5cm、高さ 11cm の円柱供試体を乱さないロックから削り出し、三軸室にセットし、管路および供試体内の空気を CO_2 ガスに置換しさらに脱気水にて飽和させた。背圧は $B.P. = 21 \text{ kgf/cm}^2$ を加えた。間隙圧係数 B の値は 0.95 以上を目指したが、得られた $B = 0.90 \sim 0.97$ で、一部で $B = 0.76$ のものもやむを得ず使用した。

$K = \sigma_r / \sigma_a = 0.5$ で、 $\sigma_r = 2.3 T = 13.4 \text{ kgf/cm}^2$ まで異方圧密した後、 $\sigma_a = \sigma_a - \sigma_r = 2.3 T = 13.4 \text{ kgf/cm}^2$ (図-2 の A または B 点)を中心とした応力振幅 σ_d ($\sigma_d / \sigma_a = 0.4, 0.6, 0.7$ に設定) の非排水繰返し圧縮を行った。載荷は 0.1 mm/min の変位制御によつて。なお試験機は試研開発の高圧振動三軸試験機(DTC-279)を用いた。

3. 単調載荷試験

通常の CU 試験によって得られた有効応力経路を図-1 に示す。 $p' = 8 \text{ kgf/cm}^2$ の供試体のみ、飽和が不完全($B = 0.76$)最初の間隙水圧の出方が悪くなる。この結果より得られた強度定数は

$$\text{正規圧密領域} : c' = 0, \phi' = 32.3^\circ$$

$$\text{過圧密領域} : c' = 0.3 \text{ kgf/cm}^2, \phi' = 27.4^\circ$$

となる。

4. 非排水繰返しせん断試験結果

図-2 の A または B 点まで異方圧密させた試料(初期せん断応力 $\sigma'_d = 2.3 T = 13.4 \text{ kgf/cm}^2$)において、 $\sigma_d / \sigma_a = 0.4, 0.6, 0.7$ の応力振幅で、非排水繰返しせん断を行つた。図-2 には、A, B 各点を通る正規圧密土の非排水有効応力経路(a, b)の予測線および図-1 で得られた破壊線(c)を示してある。

得られた有効応力経路の一例を図-3 に、すなはち、軸差応力 σ' 、間隙水圧 Δu と軸ひずみ ϵ_a の関係を図-4 に示す。

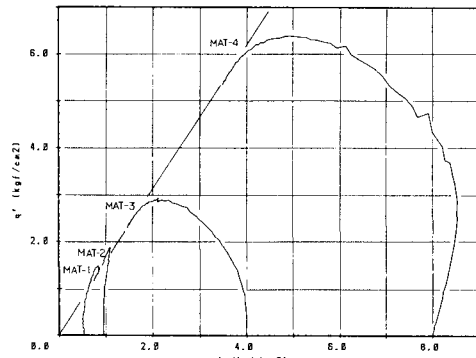


図-1 単調載荷試験の有効応力経路

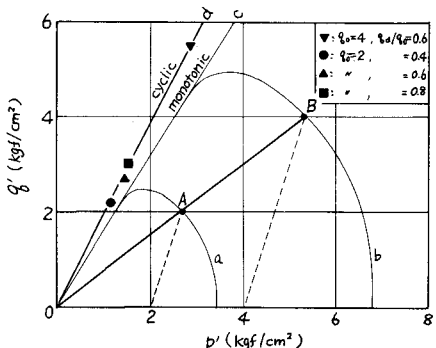


図-2 繰返しせん断の始点と限界線

有効応力経路はループを描きながら徐々に左方に移動してゆくが、これは間隙水圧 Δu の累積によるものである。図示の例では、 $N=18$ 回目に軸ひずみ増分4%以上が発生し、試験終了しているが、有効応力経路は単調載荷時の破壊線を越えてさらに左上方に進み、ある限界線に漸近するよう見える。繰返せん断による軸ひずみは、 $\Delta u/\sigma'_0 = 0.6$ を越える $N=11$ 回あたりから加速度的に大きくなっている。なお、応力振幅は、ひずみが急増しあはじめると、追従しきれず、少しずつ小さくなってしまう。図-5には ϵ_a , Δu を繰返し数に対して示す。

有効拘束圧 σ'_0 や σ'_0/σ_0 の異なる他の試験でも同様な傾向が観察された。

ここで、応力経路が最終的に到達する点に着目し、これらを図-2 上にプロットしてみた。すると、これらの点は、図中に“cyclic”と記した太い実線 d の上に載るようである。この直線 d は原点を通り、単調載荷の場合の破壊線 c よりも傾きが大きい。直線 d を繰返せん断時(正規圧密域で)破壊線とみなすと、これに対する有効応力に關する強度定数は

$$\text{繰返し(正規圧密)} : c' = 0, \phi' = 47.1^\circ$$

となる。この中の値は、単調載荷の場合に比べてかなり大きい。

5. 考察

初期せん断を与えた繰返し(動的)せん断においては、軽石屑の動的強度は静的強度に比べて大きくなることが、安田ら¹⁾によつて指摘されているが、間隙水圧は測定されておらず、有効応力経路や、 c' , ϕ' については検討されていない。

Hyde & Ward²⁾は繰返し荷重下の繰返し粘土に発生する間隙水圧について検討した。正規圧密粘土の排水繰返せん断において、間隙水圧の上界により応力経路が左方に移動してゆき、限界状態線より dry side にまで至ることを示し、以下かも強く過圧密された粘土のような挙動を示すと述べている。

安原ら³⁾は繰返し応力を受けた正規圧密粘土は擬似過圧密粘土としてふるまうこと述べた。

本報告の軽石屑も、繰返し応力下で、過圧密粘土のように正規圧密土の強度線を越えるが、これが単に間隙水圧の累積による有効応力の低下によるものなのか、あるいは繰返せん断によるひずみ硬化やシキソトロピックな性質など微視的構造にかかわる問題なのか、興味深い。今後多方面から検討していくつもりである。

6. 謝辞

実験を行つたに当たり全面的にご協力いただいたに本学の阿部広史氏、卒業3月号で卒業学生だった鈴木浩之君に感謝いたします。 1) 第20回土質工学研究発表会 1985 2) Geotech. 35 (1985) 3) 土と基礎 1985年3月号

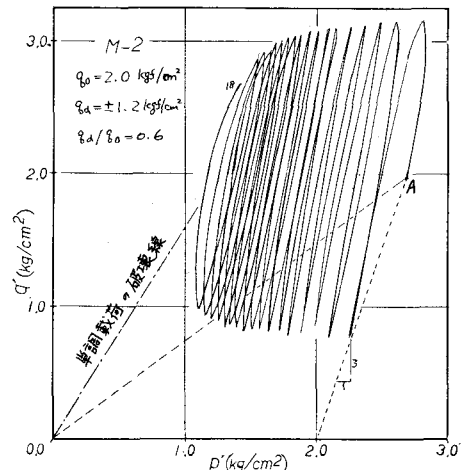


図-3 繰返せん断の有効応力経路例

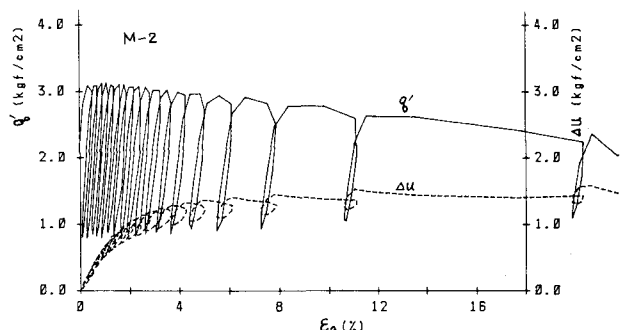


図-4 繰返せん断の σ' , Δu ~ ϵ_a 関係例

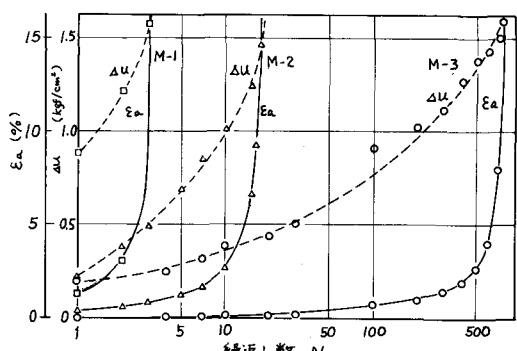


図-5 積累する ϵ_a , Δu と繰返し数 N の関係